



Untersuchung der Berechnung der 3D-Punktkorrelation auf hochparallelen Plattformen

Zwischenvortrag Großer Beleg

Simon Willeke
simon.willeke@mailbox.tu-dresden.de

Dresden, 20.06.12





Einleitungsvideo

Video aus [1]

Gliederung

1 Aufgabenstellung

2 Grundlagen

3 Vorgehensweise und Lösungsansätze

4 Diskussion

1 Aufgabenstellung

- Institut für angewandte Optik, Friedrich Schiller Universität Jena
- Arbeitsgruppe 3D-Vermessung, Prof. Kowarschik

- Hochpräzisionsvermessung
- viele Bilder für eine Punktwolke erforderlich
 - hoher Rechenaufwand
 - Auswertung auf CPU dauert mehrere Sekunden

- Ziel ist Auswertung in Echtzeit:
Punktwolkenfrequenz \approx Bildfrequenz

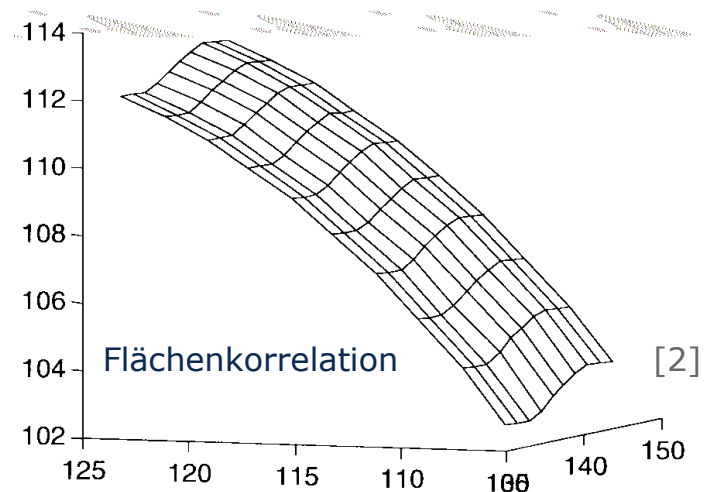
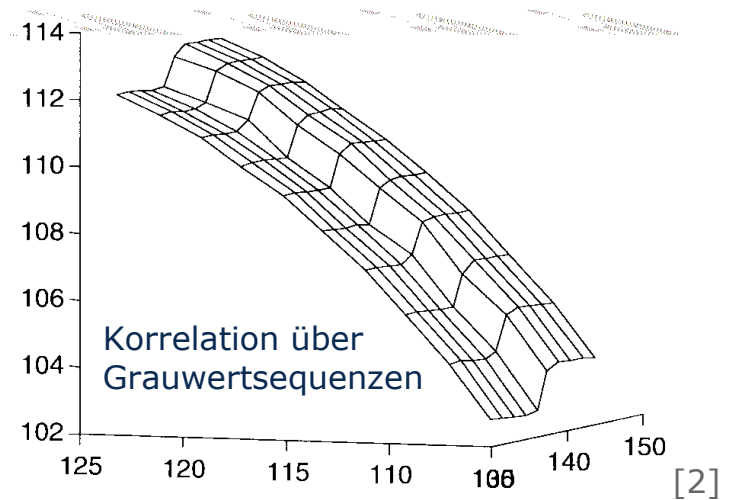
1 Aufgabenstellung

- meine Aufgabe:
Auswahl einer hochparallelen Plattform für Berechnung
- gewählte Kandidaten:
 - FPGA – Kintex7 Board KC705
 - GPU – beliebige CUDA-fähige Nvidia Grafikkarte
- vollständige Implementierung in Diplomarbeit?

2 Grundlagen

Motivation

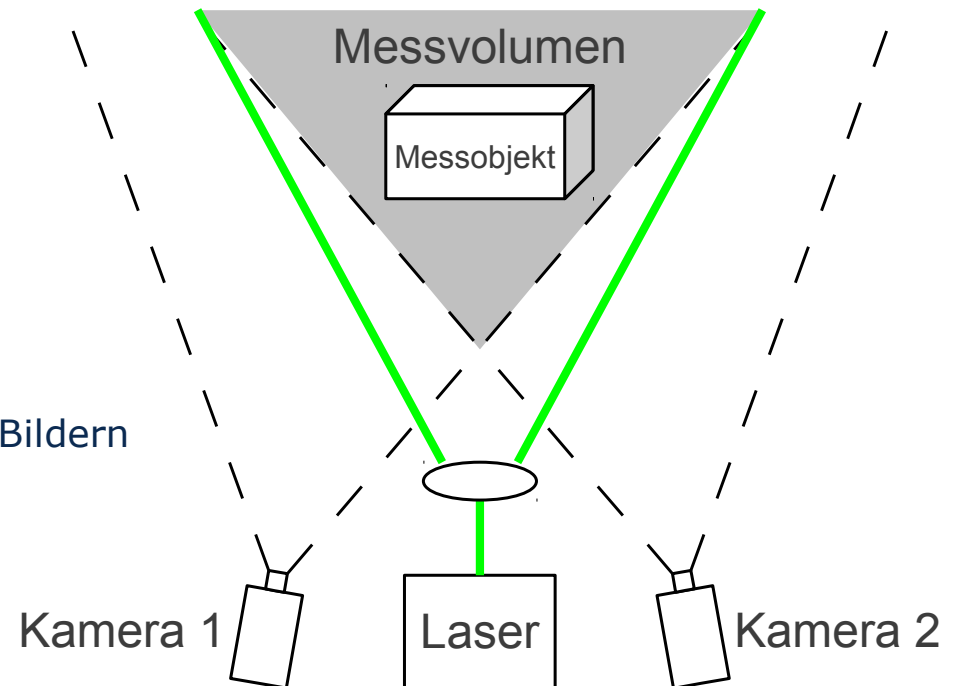
- viele Verfahren für 3D-Scanning
- Anwendungen:
 - Medizin
 - automatisierte Produktprüfung auf Produktionslinien
- besonders hohe Präzision gefordert
- pixelgenaue Tiefeninformation
 - keine Approximation von Objektkanten (Bild)



2 Grundlagen

Aufbau

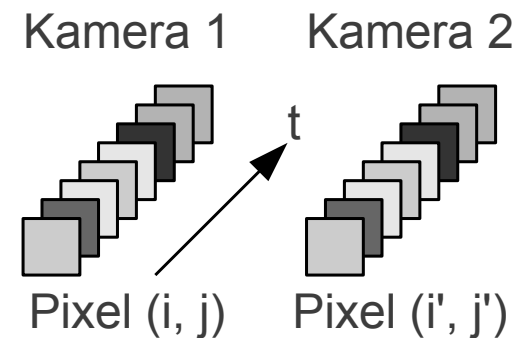
- 2 Kameras
- Projektion zeitveränderlicher statistischer Muster
 - Laser-Speckles (Bild)
 - Diaprojektor
- Auswertung einer Sequenz von Bildern



2 Grundlagen

Basialgorithmus

- Suche nach homologen Pixeln
 - Pixel im linken und rechten Bild zeigen selben Objektpunkt
 - Berechnung mittels normalisierter Kreuzkorrelation ρ
 - ρ liegt zwischen -1,0 und 1,0
 - zwei Punkte sind homolog, wenn $\max(\rho) > 0,8$
 - Objektpunkt nur von einer Kamera sichtbar \rightarrow Schwellwert wird nicht erreicht
- Triangulation

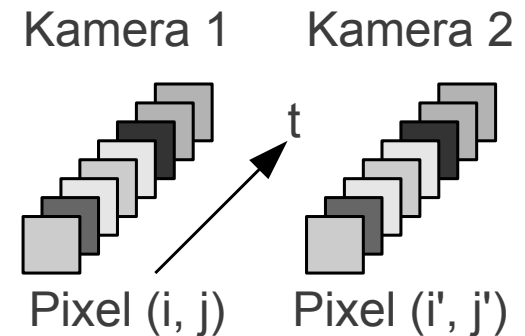


$$\rho_{i,j,i',j'} = \frac{\sum_{t=1}^N (g_{i,j,t} - \bar{g}_{i,j}) \cdot (g_{i',j',t} - \bar{g}_{i',j'})}{\sqrt{\sum_{t=1}^N (g_{i,j,t} - \bar{g}_{i,j})^2} \cdot \sqrt{\sum_{t=1}^N (g_{i',j',t} - \bar{g}_{i',j'})^2}}$$

2 Grundlagen

Basialgorithmus

- Suche nach homologen Pixeln
 - Pixel im linken und rechten Bild zeigen selben Objektpunkt
 - Berechnung mittels normalisierter Kreuzkorrelation ρ
 - ρ liegt zwischen -1,0 und 1,0
 - zwei Punkte sind homolog, wenn $\max(\rho) > 0,8$
 - Objektpunkt nur von einer Kamera sichtbar \rightarrow Schwellwert wird nicht erreicht
- Triangulation

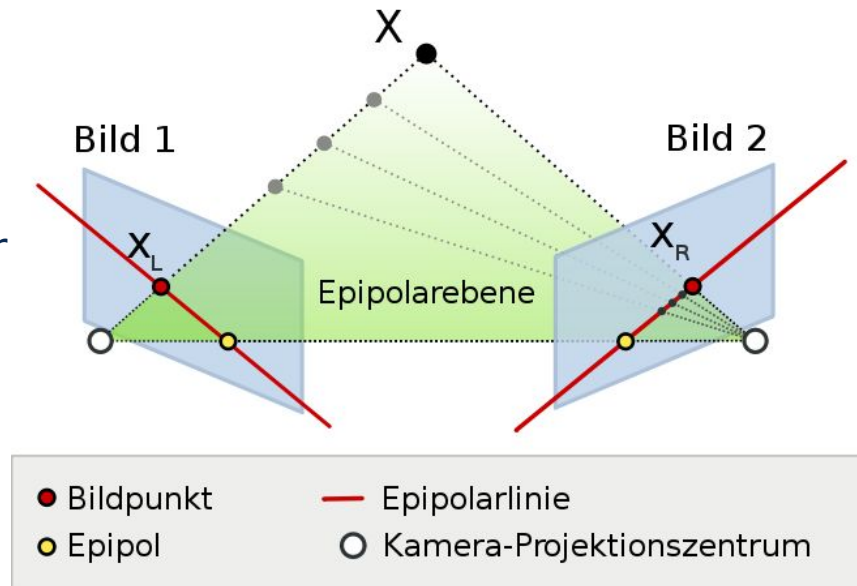


$$\rho_{i,j,i',j'} = \frac{\sum_{t=1}^N (g_{i,j,t} - \bar{g}_{i,j}) \cdot (g_{i',j',t} - \bar{g}_{i',j'})}{\sqrt{\sum_{t=1}^N (g_{i,j,t} - \bar{g}_{i,j})^2} \cdot \sqrt{\sum_{t=1}^N (g_{i',j',t} - \bar{g}_{i',j'})^2}}$$

2 Grundlagen

Verbesserung der Performance

- Punktsuche im ganzen Bild dauert sehr lange
- Beschränkung auf Epipolarlinien bei bekannter Kamerageometrie
- **Rektifizierung** zur Verbesserung der *Cache Utilisation* und Pipelinebarkeit der Speicherzugriffe (Burst-Zugriff)



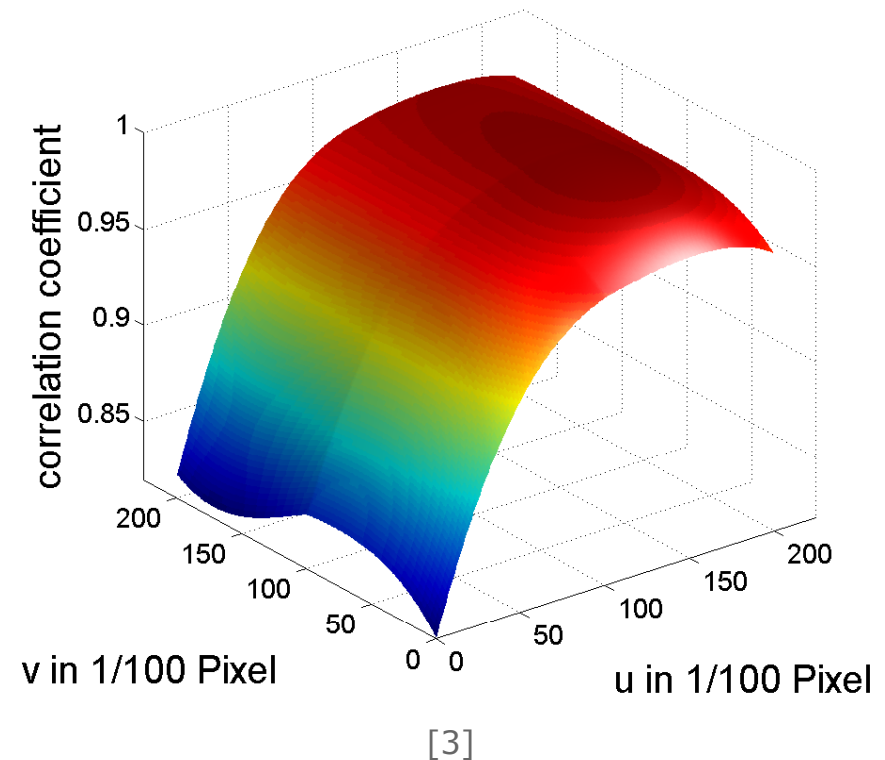
[4]

2 Grundlagen

Verbesserung der Präzision

- Punktzuordnung auf Pixelraster ungenau
- besser: Subpixelraster
 - Interpolation notwendig
- Ziel ist maximale Präzision
 - bikubische Interpolation

» Subpixelinterpolation



2 Grundlagen

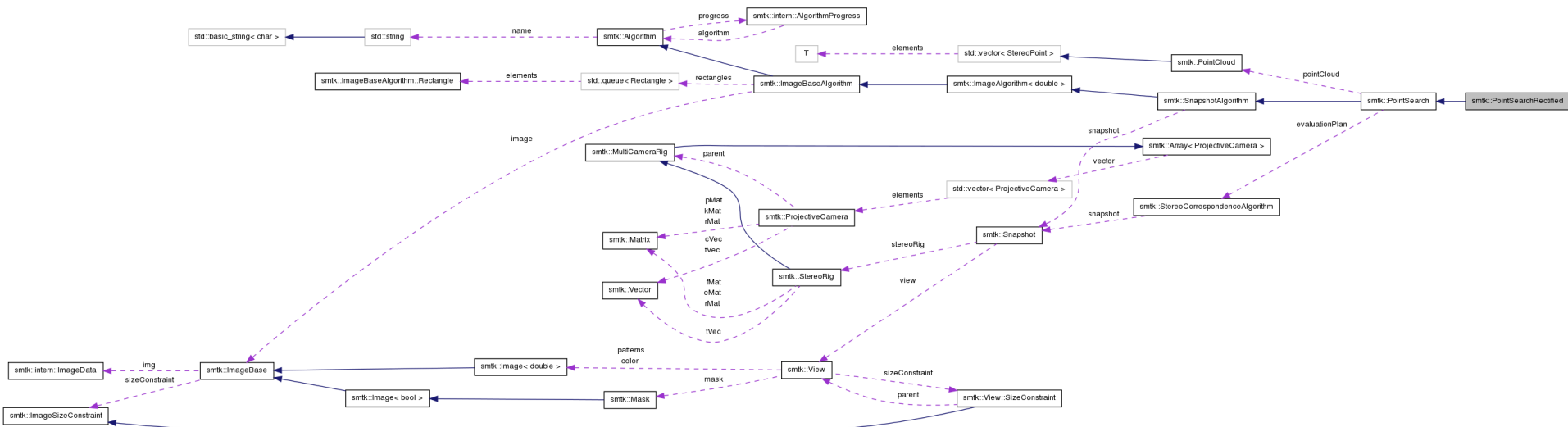
Zusammenfassung des Algorithmus

- 1) Rektifizierung**
- 2) Punktsuche**
- 3) Subpixelinterpolation**

3 Vorgehensweise und Lösungsansätze

Shape Measurement ToolKit (SMTK)

- C++ Klassenbibliothek
- Grundlage für Auswertung auf CPU
- Portierung der benutzten Klassen zu CUDA



3 Vorgehensweise und Lösungsansätze

C++ Programm

```
#include <smtk/smtk.h>
using namespace smtk;

int main(int argc, char** argv) {
    Algorithm::threads = 4;
    ImageInterpolationMode = InterpolateBicubic;
    Snapshot snapshot;
    snapshot.loadPatternImages("data/camera-1_%03d.png", "data/camera-2_%03d.png", 0, 24);
    snapshot.stereoRig.read("data/stereorig.ini");

    snapshot.rectify();

    PointCloud pointcloud;
    CrossCorrelationPlan evaluator(0.8);
    PointSearchRectified pointsearch(snapshot, pointcloud, evaluator);
    ParaboloidFit refinement(snapshot, pointcloud, evaluator, 0.001, 1.0, 100);
    Reconstruction reconstruction(pointcloud, snapshot.stereoRig);

    pointsearch.run();

    refinement.run();

    reconstruction.run();
    pointcloud.write("data/pointcloud.pcf");
    TimerReport::print();
    return 0;
}
```

3 Vorgehensweise und Lösungsansätze

CUDA Umsetzung

- CUDA großteils kompatibel mit C++
- Datentransfer Hauptspeicher ↔ Grafikkarte mit CUDA-Streams
- Optimierung der internen Speicherhierarchie vorerst vernachlässigbar

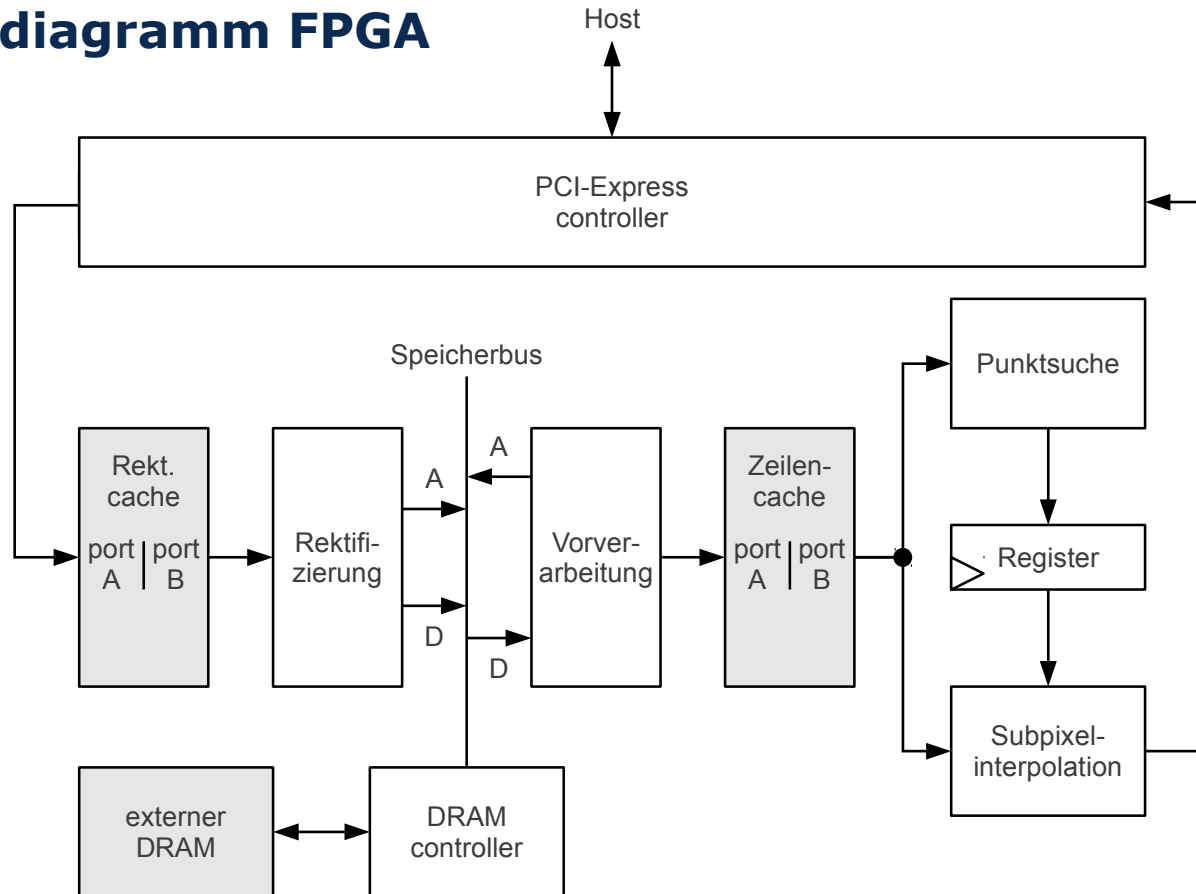
- cuBLAS Library für Rektifizierung
- Punktsuche könnte kritisch sein
- Subpixelinterpolation sehr gut parallelisierbar

Flaschenhalse

- sequentielle Punktsuche (?)
- Datentransfer

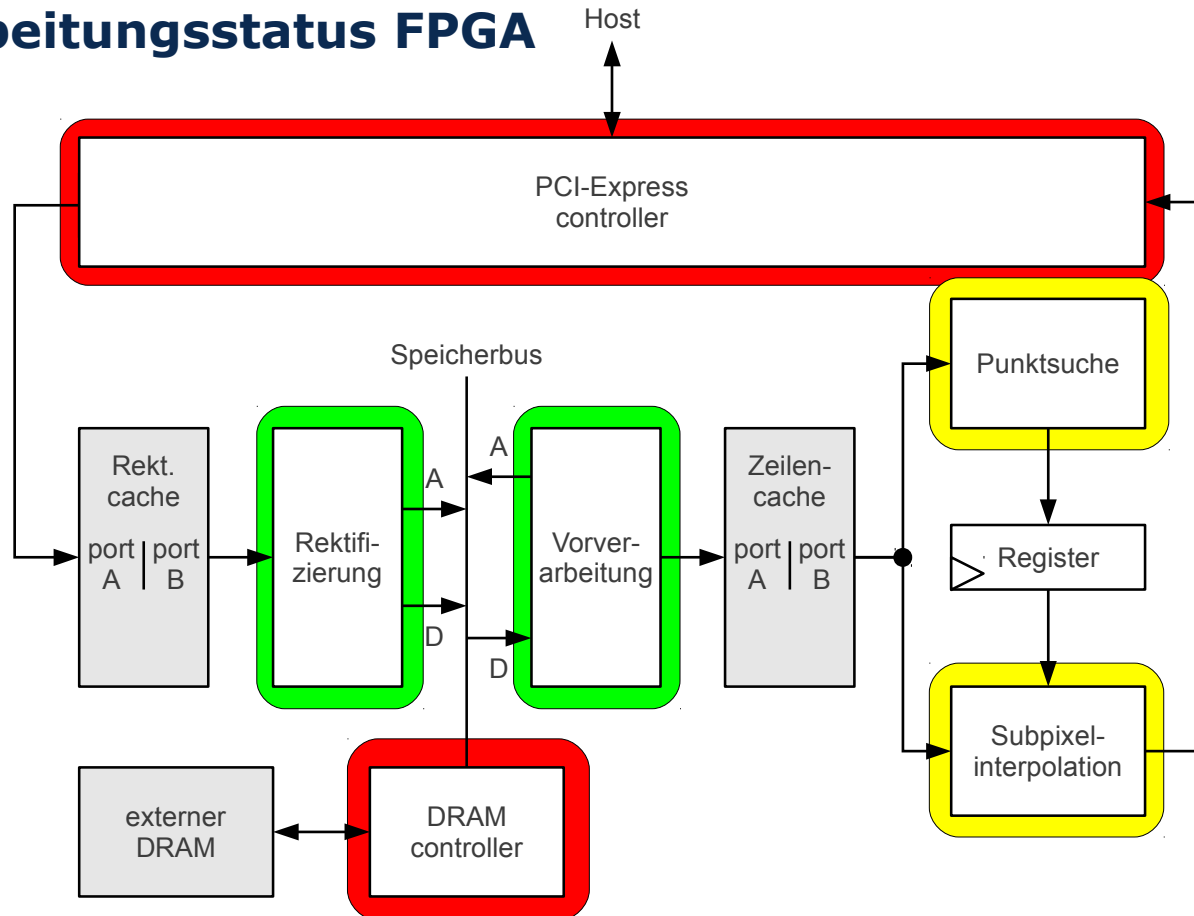
3 Vorgehensweise und Lösungsansätze

Blockdiagramm FPGA



3 Vorgehensweise und Lösungsansätze

Bearbeitungsstatus FPGA



3 Vorgehensweise und Lösungsansätze

FPGA Entwurf

- Rektifizierung
 - bearbeitet einen Pixel pro Takt
 - ca. 300fps bei 200MHz Takt und Auflösung 640x480
 - benötigt 36 Multiplikatoren (DSP Slices)
- Flaschenhals DRAM?
 - DDR3, 800MHz, 64bit Datenbus
 - theoretisch über 4700fps!
 - ca. 4200 Takte je Zeile
- BlockRAM
 - Bildcache für Rektifizierung - 342 KB je Bild
 - Zeilencache für Punktsuche - 66 KB je Zeile

3 Vorgehensweise und Lösungsansätze

FPGA Entwurf

- Punktsuche sehr langsam
 - sequentielle Suche dauert ca. 25000 Takte je Zeile
 - DRAM nur 4200 Takte je Zeile
 - parallele Punktsuche
 - in mehreren Zeilen → großer Zeilencache
 - zweifach je Zeile
- Subpixelinterpolation
 - parallelisierbar, jede Einheit verarbeitet einen Pixel
 - zwei Möglichkeiten:
 - nur eine Einheit (vollst. Pipeline)
 - mehrere iterativ arbeitende Einheiten
 - ca. 25 Multiplikatoren nötig

4 Diskussion

Fragen?

Vorschläge?

mögliche Probleme?

Alternativen?

Quellen

- [1] YouTube Kanal der Arbeitsgruppe 3D-Vermessung
<http://www.youtube.com/user/IAOag3DVermessung>
- [2] P. Albrecht et al. (1998): „Improvement of the Spatial Resolution of an optical 3-D measurement Procedure“, IEEE Transactions on Instrumentation and Measurement, Vol. 47. No. 1, February 1998.
- [3] A. Wiegmann et al. (2006): „Human face measurement by projecting bandlimited random patterns“, 21 August 2006 / Vol. 14, No. 17 / Optics Express 7698.
- [4] www2.informatik.hu-berlin.de/cv/index.php?menu=teaching&submenu=overviewteaching&mode=overviewteaching

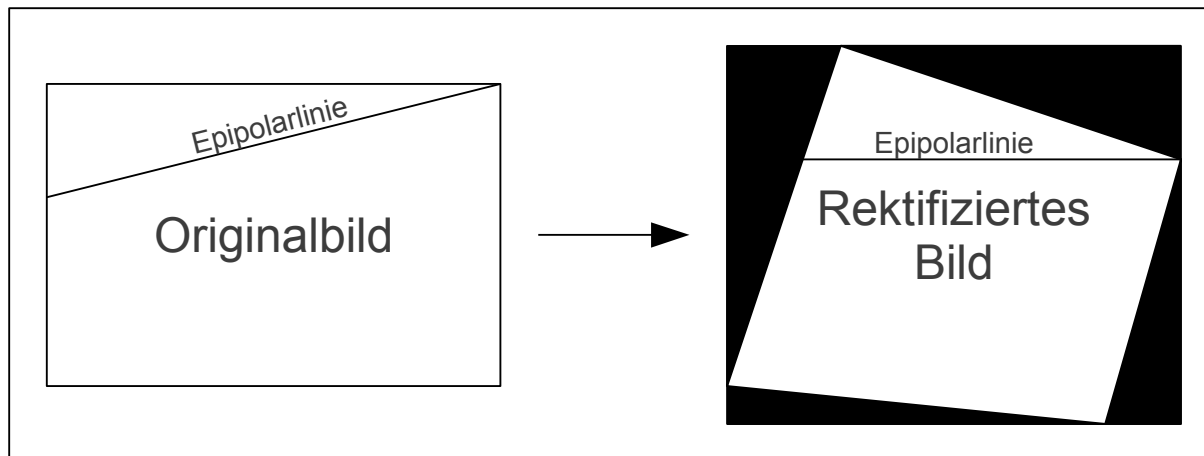


»Wissen schafft Brücken.«

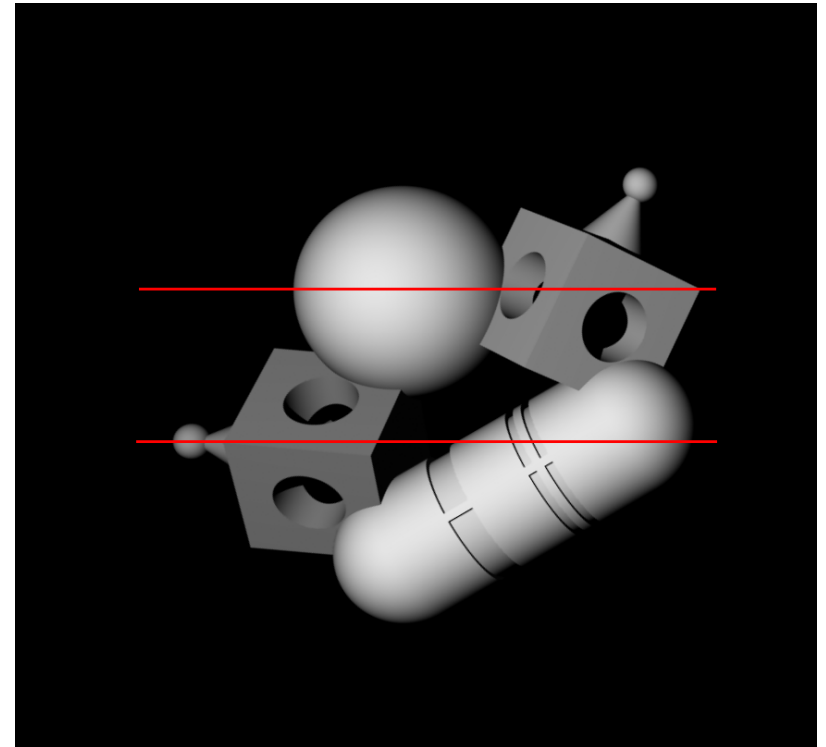
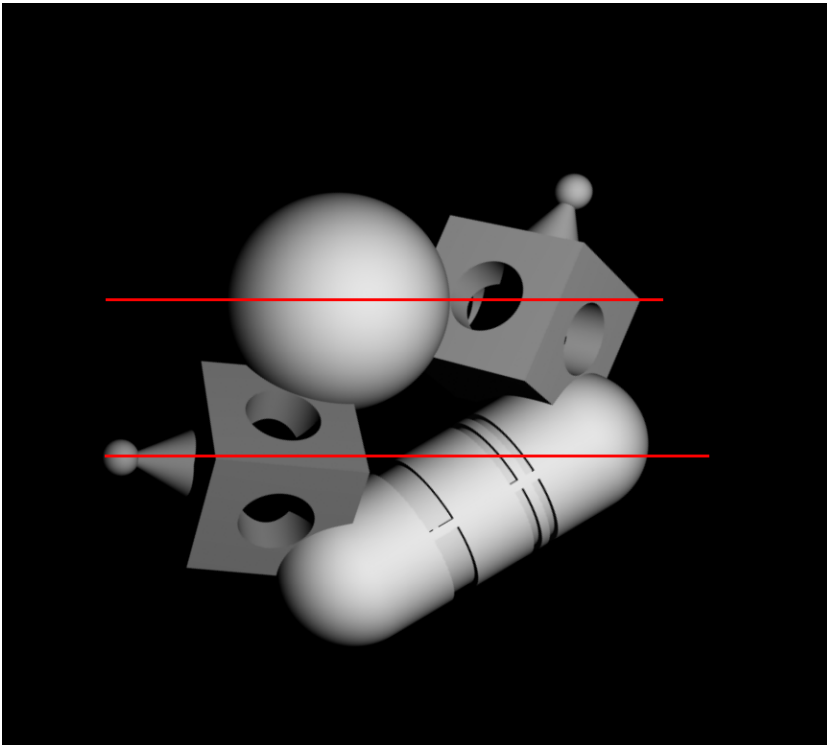
Anhang

Video aus [1]

Anhang



Anhang



Anhang

